



پترولوژی و دگرگونی مجاورتی توده‌ی کوارتزی دیوریتی سلفچگان

ممدوه نظری^۱ و شهریار کشتگار^۲

(۱) دانشگاه آزاد اسلامی واحد زاهدان nazarimahbubeh@yahoo.com
(۲) دانشگاه جامع علمی-کاربردی، واحد سیستان و بلوچستان، زاهدان keshtgar2008@yahoo.com

چکیده

توده‌ی کوارتز دیوریتی سلفچگان (کوه آله) با رخنمون دایره‌ای شکل و کنتاکت هم شیب، درون آهک‌های ماسه‌ای و ماسه‌سنگ‌های سازند قرمز فوکانی به سن میوسن فوکانی تزریق شده است و سنگ‌های میزبان خود را تا حدی دگرگون نموده است. این توده با ترکیب کوارتز دیوریت از لحاظ ساختاری به دو بخش خارجی با ساختمان لایه لایه و بخش مرکزی با ساختمان توده‌ای قابل تقسیم است. این سنگ‌ها از لحاظ خصوصیات ژئوشیمیایی در محدوده‌ی ماقماهای کالکوالکان، متالومین نوع اقرار می‌گیرند. غنی شدگی از عناصر کمیاب خاکی سنگین (LREE) در نمودارهای عنکبوتی، آنومالی منفی Nb و Ti و مقادیر بالای آلومینیم از دیگر خصوصیات این سنگ‌ها است. بر اساس مطالعات پتروگرافی و آنالیزهای شیمیایی پیشنهاد می‌شود که ماقمای اوایله این توده به وسیله‌ی ذوب بخشی یک تخته در حال فروزانش ایجاد شده است. هاله‌ی دگرگونی مجاورتی اطراف توده با کانی‌های شاخص گارنت، اپیدوت، ولاستونیت و اسکاپولیت مشخص می‌گردد. مجموعه‌ی کانی‌های موجود در هاله‌ی دگرگونی مجاورتی نشان می‌دهند که سنگ‌های میزبان در حد رخساره‌های آلبیت-اپیدوت-هورنفلس تا هورنبلند-هورنفلس دگرگون شده‌اند.

واژه‌های کلیدی: ساختار لایه‌ای، کوارتز دیوریت، فروزانش، هاله دگرگونی، سلفچگان

Petrology and contact metamorphism of Salafchegan quartz diorite intrusion

M. Nazari¹ & Sh. Keshtgar²

1) Islamic Azad University, Zahedan Branch, Zahedan, I. R. Iran.

2) University of Applied Science and Technology, S. & B. Province, Zahedan, I. R. Iran.

Abstract

The circular Salafchegan quartz diorite intrusion (Aleh Mountain) has intruded into the sandy limestone and sandstone of the Upper Red Formation of Upper Miocene age. It is a concordant pluton and has slightly metamorphosed country rocks. This body is composed of quartz diorite and could be divided into a layered structures outer part and a massively outcropped central part. These rocks show geochemical calc-alkaline affinity. They could be classified as meta-aluminous, similar to I type granitoids. These rocks are enriched in LILE (Large Ion Lithophile Elements) and LREE (Light Rare Earth Elements) but depleted in HREE (High Rare Earth Elements). In addition, they show negative anomalies of Nb and Ti, with a high Al content. Based on petrographic studies and geochemical analysis, it could be suggested that the parent magma of these rocks was related to a subduction zone and has emplaced in a magmatic arc. The contact aureole of the intrusion is indicated by the existence of minerals such as garnet, epidote, wollastonite and scapolite. The mineral assemblage in the contact aureole is demonstrated that albite-epidote-hornfels facies grade of metamorphism took place to the hornblende hornfels facies.

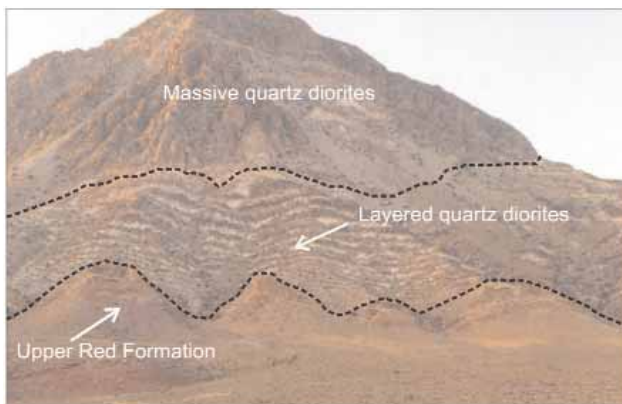
Key words: layered structure, quartz diorite, subduction, contact metamorphism, Salafchegan

۱. مقدمه

همچنین پلوتونیسم ترشیری منتشر شده است. Nogole Sadate (۱۳۷۸)، امامی (۱۳۷۰)، سجودی (۱۳۷۲)، قلمقاش (۱۳۷۴) از مشخصات بارز توده کوارتزدیوریتی سلفچگان رخنمون دایره‌ای شکل و ساختار داخلی پوست پیازی و متعددالمرکز آن است. در مقاله‌ی حاضر سعی شده است با استفاده از نتایج حاصل از بررسی روابط صحرایی و اطلاعات پتروگرافی سنگ‌های سازنده توده نفوذی سلفچگان و همچنین تحلیل روند تغییرات ژئوشیمیابی سنگ‌های آن و هاله‌ی دگرگونی مجاورتی پیرامون آن به بررسی جایگاه تکتونیکی این توده پرداخته شود (تصویر ۱۳۸۵).

۱.۱. پندوگرافی

توده‌ی کوارتزدیوریتی سلفچگان از لحاظ ساختاری به دو بخش مرکزی با ساختمان توده‌ای و بخش خارجی با ساختمان لایه‌ی لایه قابل تقسیم است (تصویر ۲). لایه‌های دیوریتی تیره و روشن به صورت مزدوج از حاشیه‌ی توده به سمت داخل توده متناوباً تکرار می‌شوند. همیری بین هر زوج لایه تیره و روشن دیوریتی با زوج لایه همچوار خود ناگهانی بوده و با همیری سنگ‌های رسوبی میزان، موازی می‌باشد (تصویر ۳).



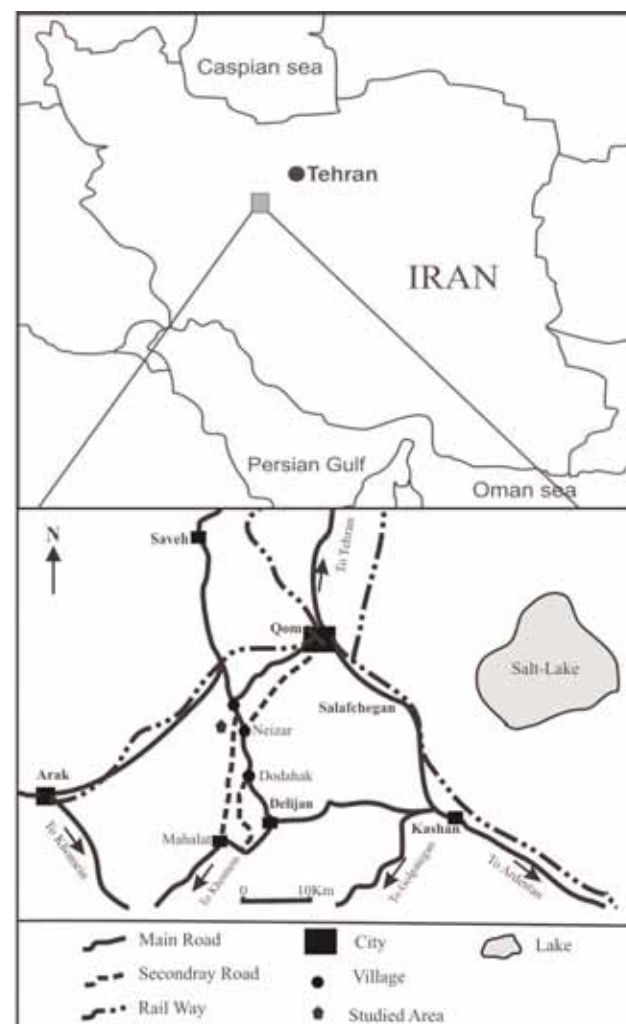
تصویر ۲. نمایی از لایه‌های متناوب تیره و روشن دیوریت به همراه بخش توده‌ای و رسوبات سازنده قرمز فوکانی، در بخش جنوبی توده اصلی، دید به سمت شمال.

۱.۱.۱. لایه‌های دیوریتی ۱.۱.۲. لایه‌های دیوریتی تیره

لایه‌های دیوریتی تیره رنگ خاکستری تا سبز تیره دارند و با فراوانی بیشتر آمفیبول مشخص می‌شوند. این دیوریت‌ها، دارای بافت پورفیری تا میکروگرانولار بوده و از لحاظ کانی‌شناسی شامل کانی‌های اصلی آمفیبول، پلاژیوکلاز، پیروکسن، و کانی‌های فرعی و ثانویه کوارتز بیوتیت، اسفن، اپیدوت، کلریت و اکتینولیت می‌باشند. فنوکریست‌های شکل دار پلاژیوکلاز (تصویر ۴) با اندازه‌ی تقریبی ۵ میلی‌متر، اکثر منطقه‌بندی نشان

توده‌ی نفوذی کوارتزدیوریتی سلفچگان (کوه آله) در ۴۵ کیلومتری جنوب غرب شهرستان قم بین طول‌های جغرافیایی $۳۰^{\circ} ۵۰' ۰۵''$ شرقی و عرض‌های جغرافیایی $۳۴^{\circ} ۳۴' ۰۲''$ تا $۳۴^{\circ} ۳۴' ۰۲''$ شمالی قرار دارد (تصویر ۱). این توده با مساحت تقریبی ۱۶ کیلومترمربع، یکی از توده‌های نفوذی کوچکی است که در زمان پس از میوسن در زون آتش‌شناشی ارومیه-دختر جایگزین شده است. این توده در داخل ماسه سنگ‌ها و آهک‌های ماسه‌ای سازنده قرمز فوکانی با سن میوسن بالای تتریق شده و در اطراف آن هاله‌ی دگرگونی مجاورتی کم ضخامت شکل گرفته است (امامی ۱۳۷۰).

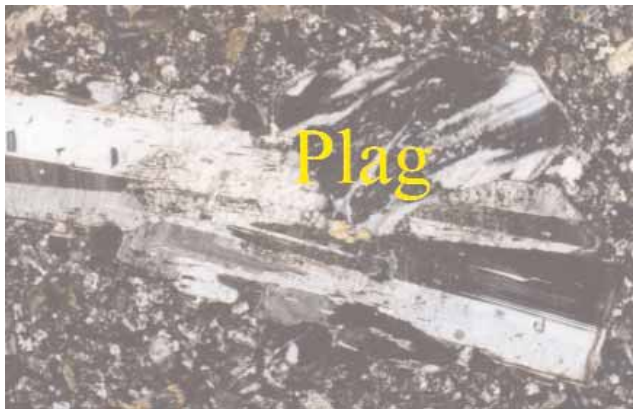
مطالعات سنگ‌شناسی که تا کنون در مورد توده‌ی کوارتزدیوریتی سلفچگان انجام شده است محدود به گزارش و نقشه‌های زمین‌شناسی سلفچگان (امامی ۱۳۷۰) و ۱:۲۵۰۰۰۰ (امامی ۱۳۷۹) است. با این وجود در منطقه‌ی گستردگی چهارگوش زمین‌شناسی قم، اطلاعات ارزشمندی پیرامون مسائل زمین‌شناسی ساختمانی، ژئوشیمیابی، سنگ‌شناسی، ولکانولوزی، دینامیسم فوران‌های آتش‌شناشی و



تصویر ۱. نقشه راه‌های دسترسی به منطقه.

در سنگ‌های توده نیز دلیلی بر ماهیت آبدار ماقماتیسم و شکل‌گیری سنگ‌ها در کمان ماقمایی است (MacDonald et al. 2000, Poma et al. 2004). در لایه‌های روش، انکلاوهای ریزدانه‌ای از دیوریت‌های تیره مشاهده می‌شوند که عوامولاً دانه ریزتر از سنگ‌های میزان بوده، بین ۱ تا ۵۰ سانتی متر قطر دارند و با داشتن کانی‌های مافیک بیشتر، مشخص می‌شوند.

می‌دهند. آمفیبول‌ها به دو صورت ریزبلور و فنوکریست، با اندازه ۱ تا ۲ سانتی‌متر در نمونه‌ها حضور دارند (تصویر ۵). پیروکسن‌ها از نوع اوژیت هستند و به صورت بلورهایی با اندازه‌ی ۲ تا ۵ میلیمتر مشاهده می‌شوند (تصویر ۶). درصد کانی‌های مافیک و اپک در لایه‌های تیره دیوریتی، بیشتر و آتره‌تر از لایه‌های روش است. کانی‌های مافیک اکثرأ به کلریت تبدیل شده‌اند.



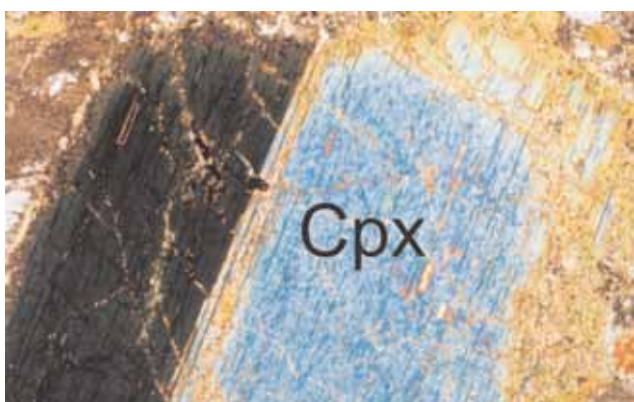
تصویر ۴. درشت بلور پلاژیوکلاز با ماکل تکراری و ضربدری. نورپلاریزه، بزرگنمایی ۴۰، Plag: پلاژیوکلاز.



تصویر ۳. نمایی از لایه‌های تیره و روش در بخش حاشیه‌ای توده.



تصویر ۵. بلور آمفیبول در مقطع عرضی. نورپلاریزه، بزرگنمایی ۴۰، Am: آمفیبول، QZ: کوارتز



تصویر ۶. میکروفنوفنکریست پیروکسن با ماکل تیغه‌ای. نورپلاریزه، بزرگنمایی ۴۰، Cpx: کلینوپیروکسن

۴.۱.۴. لایه‌های دیوریتی (وش)

لایه‌های روش که به رنگ خاکستری روش بوده و با فراوانی فنوکریست‌های پلاژیوکلاز و بافت پورفیری مشخص‌اند، عمدتاً حاوی کانی‌های اصلی پلاژیوکلاز، آمفیبول، پیروکسن، کوارتز و کانی‌های فرعی و ثانویه بیوتیت، اسفن، اپیدوت، کلریت و اکتینولیت هستند. درصد کانی‌های فلزیک در این لایه‌ها بیشتر از لایه‌های تیره است به طوری که تعداد و اندازه‌ی کانی‌های پلاژیوکلاز بیشتر شده و قطر آن‌ها به حدود ۱ سانتی‌متر می‌رسد. پلاژیوکلازها اغلب ماکل پلی‌ستتیک، زونینگ و در بعضی موارد بافت غربالی نشان می‌دهند.

در دیوریت‌های روش، پلاژیوکلازها بیشتر آتره شده و اکثرأ به کلسیت تبدیل شده‌اند. تعداد فنوکریست‌ها کمتر، ولی اندازه آن‌ها عوامولاً بزرگ‌تر از انواع موجود در لایه‌های تیره است. کانی‌های مافیک از نوع آمفیبول و پیروکسن هستند و با فراوانی کمتر و اتراسیون کمتر نسبت به لایه‌های تیره مشخص می‌شوند. به هر حال هر دو بخش تیره و روش صرف نظر از اختلافات جزئی باقی و کانی‌شناسی، از لحاظ رده‌بندی سنگ‌شناسی در گروه کوارتز دیوریت قرار می‌گیرند (تصویر ۷).

وجود بافت‌های نامتعادل مثل منطقه‌بندی ترکیبی در پلاژیوکلازها و آمفیبول‌ها، خوردگی حاشیه درشت بلورها و حضور درشت بلورهایی با حاشیه واکنشی مثل آمفیبول یکی از مشخصات سنگ‌های کمان ماقمایی است

و بررسی نحوه‌ی تشکیل توده، تعداد ۶ نمونه از سالم‌ترین دیوریت‌های لایه‌ای نوار حاشیه‌ی توده و چهار نمونه نیز از سالم‌ترین دیوریت‌های توده‌ای بخش مرکزی برای آنالیز رئوشیمیایی انتخاب گردیدند و در آزمایشگاه ALS_Chemex در کشور کانادا به روش ICP مورد آنالیز قرار گرفتند.

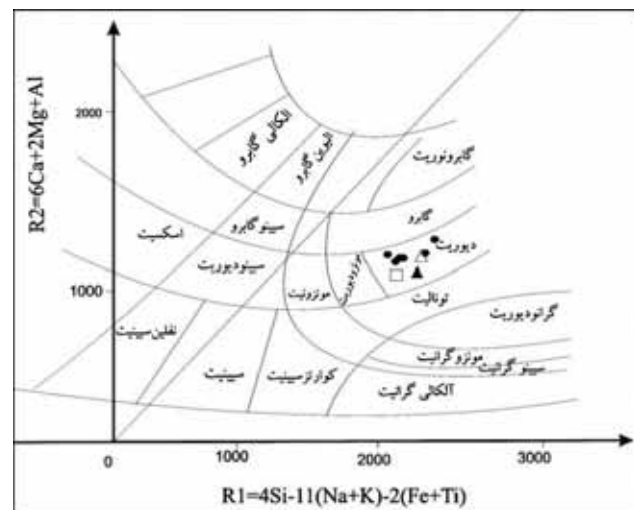
در تصویر ۸ فراوانی عناصر کمیاب نمونه‌های مورد مطالعه با کندریت (Sun & McDonough 1989)، نرمالیز شده است، چنانچه در این نمودار ملاحظه می‌گردد غنی شدگی از عناصر کمیاب خاکی سبک (LREE) نسبت به عناصر کمیاب خاکی سنگین (HREE) و مشابهت فراوانی HREE با عناصر کمیاب خاکی متوسط (MREE) از مشخصات سنگ‌های توده است. بالا بودن LREE نسبت به HREE یکی از خصوصیات بارز سنگ‌های کالکو-الکالن قوس آتششانی مناطق فرورانش حاشیه‌ی قاره‌ای است (Wilson 1989, Brewer et al. 1998, Kampunzu et al. 2003, Machado et al. 2005).

در نمودار مربوط به فراوانی عناصر کمیاب که نسبت به گوشته اولیه (Sun & McDonough 1989) نرمالیز شده است (تصویر ۹)، شاهد آنومالی (Anomaly) معرفی شده است. در این نمودار، عناصری که نسبت به گوشته اولیه بزرگتر هستند را علاوه بر آنومالی مثبت (Positive Anomaly) و علاوه بر آنومالی منفی (Negative Anomaly) می‌نامند. علاوه بر آنومالی مثبت، عناصری که نسبت به گوشته اولیه کمتر هستند را علاوه بر آنومالی منفی می‌نامند. در این نمودار، عناصری که نسبت به گوشته اولیه بزرگتر هستند را علاوه بر آنومالی مثبت (Positive Anomaly) و علاوه بر آنومالی منفی (Negative Anomaly) می‌نامند. علاوه بر آنومالی مثبت، عناصری که نسبت به گوشته اولیه کمتر هستند را علاوه بر آنومالی منفی می‌نامند.

نمونه‌های توده‌ی مورد نظر در نمودار Rb/Y+Nb (Pearce et al. 1984) در محلوده‌ی گرانیتوئیدهای قوس آتشفشاری قرار می‌گیرند که از ویژگی‌های سنگ‌های آذرین نوع I و مرتبط با مأkmای مناطق فرورانش می‌باشد (تصویر ۱۰).

نمونه های مورد مطالعه حاوی مقدار بالای (Al_2O_3 : 16-18%) و مقادیر پایین (TiO_2 : کمتر از ٪۱۶) و مقدار متوسط (SiO_2 : ۵۴-۶۰٪) شبیه مگماهای حدودی (Bogoch et al. 2002) واسطه و مافیک پر Al جایگاه های قوسی هستند (سنگ های توده کوارتز دیوریتی سلفچگان از نظر درجه ای اشباع شدگی از الومینیم در محدوده متألومین قرار می گیرند (تصویر ۱۱).

به عقیده اواتر (Ewart 1982)، برو و همکاران (Brewer et al. 1998) و
ماچادو و همکاران (Machado et al. 2005) غنی شدگی از REE نسبت به
REE تیزیک سنگ‌های جایگاه کالکو-کالان است. با توجه به شواهد بیان



تصویر ۷. نمونه‌های مورد مطالعه در طبقه‌بندی سنگ‌های آذرین نفوذی (De la Roch et al. 1980)

این انکلاوه‌ها اغلب به صورت گرد شده و به فرم کلوچه‌ای یا تخت دیده می‌شوند.

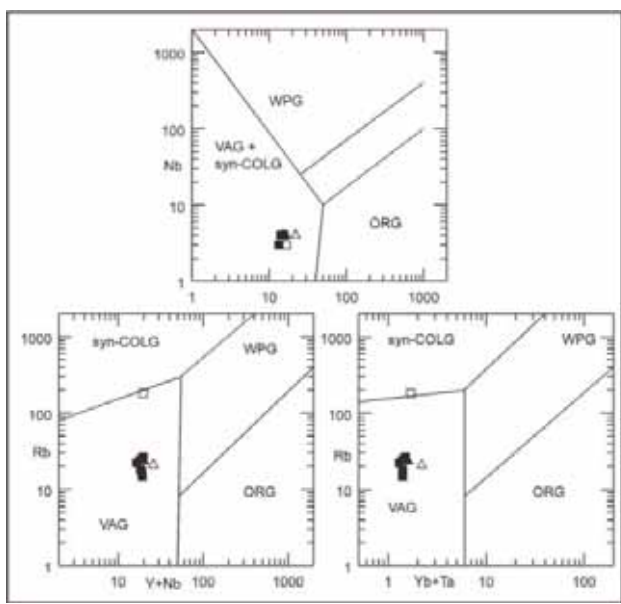
در بخش خارجی توده، کانی‌ها با حفظ فرم اولیه ماگمایی خود جهت‌یابی نشان می‌دهند. این فولیاسیون‌ها مگمایی به موازات لایه‌بندی دیوریت‌ها و کنتاکت آن‌ها با سنگ‌های میزبان بوده و می‌تواند نشانه‌ی تزریق پر فشار ماگما به داخل مخزن مگمایی و جهت‌یابی کانی‌ها در حاشیه‌ی خارجی توده باشد. با توجه به شواهد فوق به نظر می‌رسد که ورود ماگمای جدید به داخل مخزن در مراحل مختلف توانسته موجب انبساط توده شود.

۲.۲. دیوگیت‌های توده‌ای

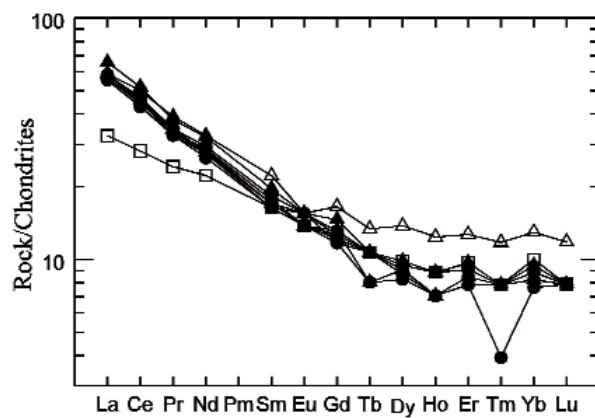
دیوریت های همگن و توده ای در بخش مرکزی توده رخنمون دارند و عمدتاً از دیوریت کوارتزدار با بافت پورفیری تشکیل شده اند. این بخش از توده معمولاً از نظر خصوصیات سنگ شناسی مشابه لایه های دیوریتی روشن بوده و از لحاظ کانی شناسی حاوی فنوکریست های نسبتاً درشت و شکل دار آمفیبول، پلاژیوکلاز و پیروکسن می باشند. فنوکریست های پلاژیوکلاز که اغلب ۱ تا ۲ سانتی متر قطر دارند، با ماکل پلی سنتیک، زونینگ و در بعضی موارد با بافت غربالی مشخص می شوند. هورنبلند به دو صورت ریز بلور و فنوکریست، با اندازه های ۱ تا ۲ سانتی متر در نمونه ها حضور دارند. پیروکسن ها از نوع اوزیت اند و به صورت بلورهای ریز و درشت با ابعاد کمتر از ۱ سانتی متر مشاهده می شوند. کانی های فرعی عبارتند از: کوارتز، بیوتیت، اکتینولیت، اسفن و تورمالین.

م. ڈو شیمی

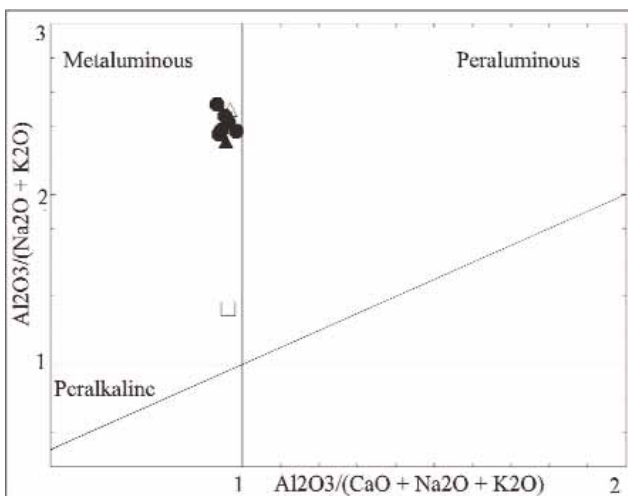
به منظور بررسی ویژگی های رئوشیمیایی توده‌ی کوارتز دیوریتی سلفچگان



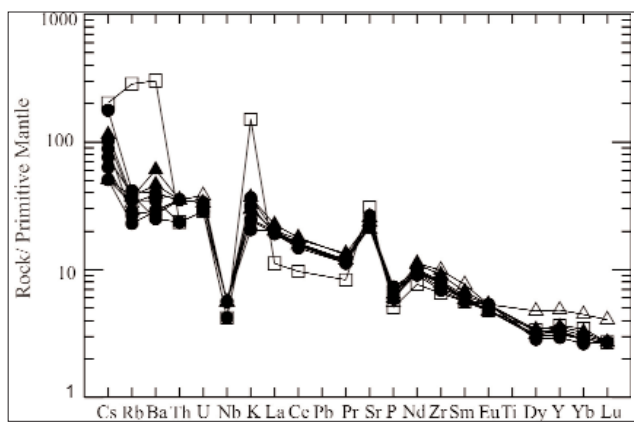
تصویر ۱۰. نمونه های مورد مطالعه بر روی نمودارهای تفکیک کننده محبط های تکتونیکی (Pearce et al. 1984) در محدوده ی گرانیت های کمان اتشمنانی (VAG) قرار می گیرند.



تصویر ۸. فراوانی عناصر نادر خاکی (REE) در نمونه های مورد مطالعه که نسبت به کندریت نرمالیز شده اند (Sun & McDonough 1989).



تصویر ۱۱. نمونه های مورد بررسی از لحاظ درجه اشباع از آلومینیوم (Maniar & Piccoli 1989) همگی در محدوده ی متآلومین قرار می گیرند.



تصویر ۹. فراوانی عناصر فرعی و کمیاب در نمونه های مورد مطالعه که نسبت به گوشته ای اوکیه نرمالیز شده اند (Sun & McDonough 1989).

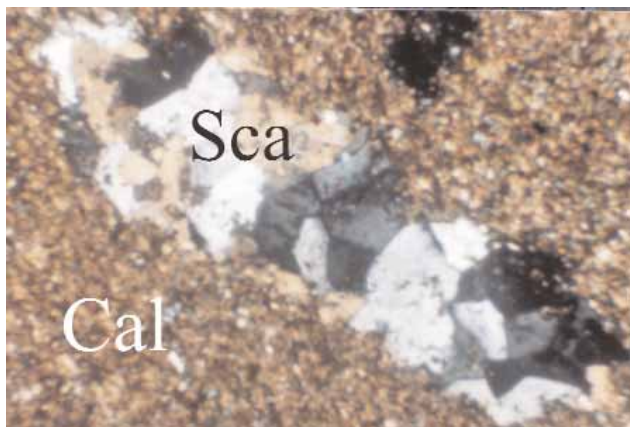
شده می توان گفت که توده ی کوارتز دیبوریتی سلفچگان حاصل فعالیت مagmaزایی مرتبط با فروزانش پوسته اقیانوسی نئوتیس به زیر ورقه ی قاره ای ایران مرکزی می باشد.

۱۲. دگرگونی مجاورتی

سنگ های رسوبی میزبان توده در مجاورت بلافصل توده متحمل دگرگونی حرارتی شده اند و بافت هورنفلسی به خود گرفته اند. در اثر نفوذ توده ی کوارتز دیبوریتی سلفچگان به درون آهک ها و ماسه سنگ های سازند قرمز فرقانی، یک هاله ی دگرگونی بسیار نامنظم و درجه ی ضعیف با ضخامت حدود ۱ تا ۵ متر ایجاد گردیده است. به منظور بررسی تأثیرات حرارتی توده مزبور بر روی سنگ های میزبان نمونه برداری صحرابی و مطالعات میکروسکوپی انجام گردید. مجموعه کانی های موجود در آهک های تجدید تبلور یافته قسمت بیرونی هاله عبارتند از گارنت + اپیدوت + کلسیت و به سمت داخل هاله، مرمرهای دگرگونی مجاورتی شامل مجموعه کانی های زیر می باشند:

ولاستونیت + اپیدوت + زوئیزیت + کلینوز و زوئیزیت + کلسیت
اسکاپولیت + اپیدوت + کلسیت

در قسمت های مختلف هاله دگرگونی تجمعات دانه ریز اپیدوت + کلریت + کلسیت + کوارتز به صورت لکه های میکروسکوپی قابل تشخیص اند (تصویر ۱۲). گارنت های موجود در هاله ی دگرگونی مجاورتی از نوع گرسولار بوده و اکثرآ در امتداد شکستگی ها تشکیل شده اند (تصویر ۱۳). به دلیل قرارگیری تیغه های شعاعی ولاستونیت به دور هسته های اپیدوتی، هورنفلس ها اکثرآ بافت روزت (کلبرگی) نشان می دهند (تصویر ۱۴). هورنفلس ها در یک زمینه کلسیتی و درون حفرات مشاهده می شود (تصویر ۱۵)، مجموعه کانی های موجود در هاله ی دگرگونی مجاورتی نشان



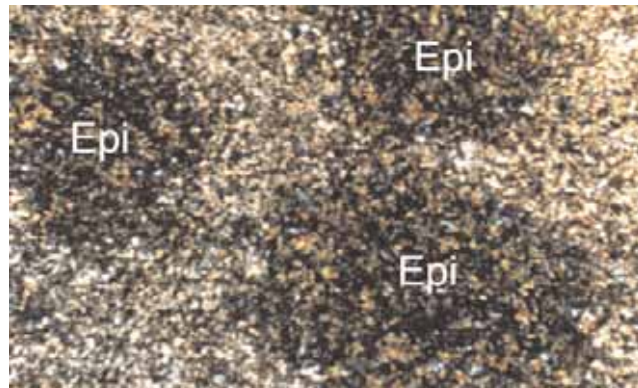
تصویر ۱۵. اسکاپولیت در سنگ‌های مجاور توده که هورنفلسی شده‌اند مشاهده می‌گردد. نور پلاریزه، بزرگنمایی ۴۰، Sca: اسکاپولیت، Cal: کلسیت.

شدّت دگرگونی مجاورتی در قطعاتی از سنگ‌های میزبان که به صورت انکلاوهای کوچک و بزرگ به داخل توده دیوریتی سقوط نموده‌اند، تا حدّی بیشتر است. انکلاوهای رسوبی با ابعادی بین ۲ تا ۱۵ سانتی‌متر به صورت قطعات زاویه دار تا کمی گرد شده در بخش‌های مرکزی توده تا بلوك‌های بسیار بزرگ ۲۰ تا ۱۰۰ متری در حاشیه‌ی شمال شرقی توده پراکنده‌اند. بلوك‌های بزرگ آهکی که به صورت جزیره در میان دیوریت‌ها مشاهده می‌شوند، در حاشیه متحمل دگرگونی مجاورتی شده‌اند. انکلاوهای کوچک کربناته در اثر حرارت توده، تجدید تبلور پیدا کرده‌اند به طوری که کوارترها بافت مضرس پیدا کرده و مجموعه کانی‌های شعاعی ولاستونیت، اپیدوت و کلریت در آن‌ها شکل گرفته است.

۵. نتیجه‌گیری

توده‌ی کوارتزدیوریتی سلفچگان از لحاظ ساختاری به دو بخش مرکزی با ساختمان توده‌ای و خارجی با ساختمان لایه‌ای قابل تقسیم است. با توجه به این که دیوریت‌های بخش مرکزی و خارجی دارای بافت پورفیری می‌باشند و از لحاظ بافتی در گروه سنگ‌های نیمه عمیق قرار می‌گیرند و با توجه به ضخامت کم هاله‌ی دگرگونی و شدت کم دگرگونی مجاورتی با اطمینان می‌توان بیان داشت که این توده در اعمق کم جایگزین شده است. همچنین نمونه‌های مورد نظر در محدوده‌ی گرانیتوئیدهای قوس آتش‌شانی قرار می‌گیرند که از ویژگی‌های سنگ‌های آذرین نوع او مرتبط با مagma‌های مناطق فرورانش می‌باشد. مقادیر پائین Y, Nb, Yb, Zr, غنی شدگی از عناصر کمیاب خاکی سبک (LREE) در مقایسه با عناصر کمیاب خاکی سنگین (HREE) در نمودارهای عنکبوتی، آنومالی منفی Nb-Ti و مقادیر بالای آلومینیم نشان دهنده ژئوگاماهايی است که به وسیله‌ی ذوب بخشی یک تخته در حال فرورانش ایجاد شده‌اند.

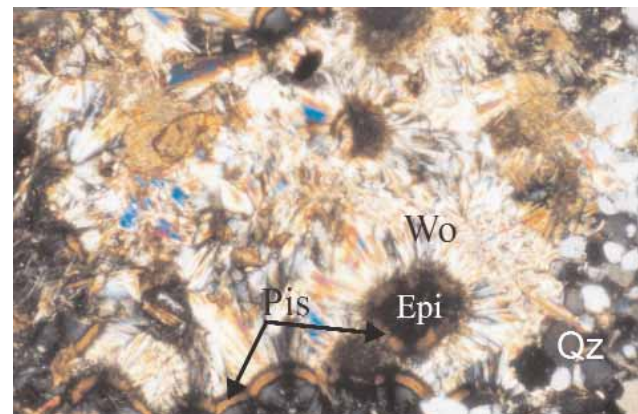
می‌دهند که سنگ‌های میزبان در حد رخساره‌های آلبیت-اپیدوت-هورنفلس تا هورنبلند-هورنفلس دگرگون شده‌اند و بر طبق نظر وینکلر (Winkler 1979) دمایی در حدود ۴۰۰-۶۰۰ درجه سانتی گراد را در فشار کمتر از ۲ کیلوبار تحمل نموده‌اند. بنابراین با توجه به شرایط حاکم بر تجدید تبلور سنگ‌های میزبان توده به نظر می‌رسد که توده‌ی کوارتزدیوریتی سلفچگان در اعمق کمتر از ۵ کیلومتری پوسته جایگزین شده باشد.



تصویر ۱۶. لکه‌های میکروسکوپی سرشار از اپیدوت در سنگ‌های دگرگونی اطراف توده، نور پلاریزه، بزرگنمایی ۱۰۰، Epi: اپیدوت.



تصویر ۱۷. گارنت نوع گرسولار در مرمرهای دگرگونی مجاورتی اطراف توده، نور پلاریزه، بزرگنمایی ۴۰، Gar: گارنت.



تصویر ۱۸. بافت رزت (گلبرگی) در کانی‌های هاله‌ی دگرگونی مجاورتی که حاصل قرارگیری تیغه‌های شعاعی ولاستونیت به دور هسته‌های اپیدوتی است. نور پلاریزه، بزرگنمایی ۴۰، Wo: ولاستونیت، Epi: اپیدوت، Qz: کوارتز، Pis: پیستاتیت.

۶. مراجع

- Maniar, P. D. & Piccoli, M., 1989,** "Tectonic discrimination of granitoids", *Geological Society of American Bulletin*, Vol. 101: 635 - 642
- Nogole Sadate, M. A. A., 1978,** "Les zones de decrochements et les virgations structurales en Iran. Consequences des resultats de l'analyse struturelle de la region de Qom", *Thesis univ. scientifique et edicale de Grenoble*; 201p.
- Parada, M. A., Nystrom, J. O. & Levi, B., 1999,** "Multiple sources for the Coastal Batholith of central Chile (31-34 S): geochemical and Sr-Nd isotopic evidence and tectonic implication", *Lithos*, Vol. 46: 505-521.
- Pearce, J. A., Harris, N. B. W. & Tindle, A. G., 1984,** "Trace element discrimination diagrams for the tectonic interpretation of grantitic rocks", *Journal of Petrology*, Vol. 25: 956 - 983.
- Poma, S., Quenardelle, S., Litvak, V., Maisonnave, E. B. & Koukharsky, M., 2004,** "The Sierra de Macon, Plutonic expression of the Ordovician magmatic arc, Salta Province Argentina", *Journal of South American Earth Sciences*, Vol. 16: 587-597.
- Rollinson, H. R., 1993,** "Using geochemical data: evolution, presentation, interpretation", *Longman Scientific and Technical*, 252 p.
- Shaw, A., Downes, H. & Thirwall, M. F., 1993,** "The quartz-diorites of Limousin: elemental and isotopic evidence for Devono-Carboniferous subduction in the Hercynian belt of the French Massif Central", *Chemical Geology*, Vol. 107: 1-18.
- Shelly, D., 1993,** "Igneous and metamorphic rocks under the microscope", *Chapman and Hall*, 630 p.
- Sun, S. S. & McDonough, W. F., 1989,** "Chemical and isotopic systematics of oceanic basalts: implications for mantle composition and processes", In: *Saunders, A.D., Norrey, M.J. (Eds.)*, "Magmatism in the Ocean Basins", *Geol. Soc. London, Spec. Publ.*, Vol. 42: 313-345.
- Wilson, M., 1989,** "Igneous petrogenetic", *Chapman & Hall*, 466 p.
- Winkler, H. G. F., 1979,** "Petrogenesis of metamorphic rocks", *Springer Verlag, New York, Inc.* 384 p.
- امامي، م.، ۱۳۷۰،** "شرح نقشه زمین‌شناسی چهارگوش قم مقیاس ۷۲۵۰۰۰۰، انتشارات سازمان زمین‌شناسی کشور.
- سجودی کیسمی، ح.، ۱۳۷۲،** "بررسی زمین‌شناسی و پترولوری سنگ‌های آذرین جنوب قم، رساله‌ی کارشناسی ارشد، دانشگاه تربیت معلم تهران.
- شامرخ، ج.، ۱۳۷۵،** "پترولوری و پتروژنی سنگ‌های آتششانی نوژن منطقه‌ی سلفچگان-اشتیان، رساله‌ی کارشناسی ارشد، دانشگاه تربیت معلم تهران
- علایی مهابادی، س. و کهنسال، ر.، ۱۳۷۹،** "نقشه زمین‌شناسی چهارگوش زمین‌شناسی ۷۱۰۰۰۰۰، انتشارات سازمان زمین‌شناسی کشور.
- قلمقاش، ج.، ۱۳۷۴،** "مطالعه‌ی پلوتونیسم ترشیری در منطقه‌ی جنوب قم (محدود به ورقه ۱:۱۰۰۰۰۰)، رساله‌ی کارشناسی ارشد، دانشگاه شهید بهشتی.
- نظری، م.، ۱۳۸۵،** "بررسی منشأ و محیط تکتونیکی توده‌ی نفوذی کوارتزدیوریتی سلفچگان، شمال دلیجان، پایان‌نامه‌ی کارشناسی ارشد، دانشگاه تهران.
- Best, M. G. & Christiansen, E. H., 2001,** "Igneous Petrology", *Black Well Science, Inc.* 458 p.
- Brewer, T. S., Daly, J. S. & Ahal, K., 1998,** "Contrasting magmatic areas in the Palaeoproterozoic of the south-western Baltic Shield", *Precambrian Research*, Vol. 92: 297-317.
- Bogoch, R., Avigad, D. & Weissbrod, T., 2002,** "Geochemistry of the quartz diorite-granite association, Roded area, southern Israel", *Journal of African Earth Sciences*, Vol. 35: 51-60.
- De la Roche, H., Leterrier, J., Grande, P. & Marshal, M., 1980,** "A classification of volcanic and plutonic rocks using R1?R2 diagram and major elements analysis, its and current nomenclature", *Chemical Geology*, Vol. 29: 183 - 210
- Ewart, A., 1982,** "The mineralogy and petrology of Tertiary-recent orogenic volcanic rocks with special reference to the andesite-basalt compositional range", in: Thorpe, R.S. (Ed.), "Andesite: Orogenic Andesite and Related Rocks", John Wiley and Sons, New York, 25-87.
- Gioncada, A., Mazzuoli, R., Bisson, M. & Pareschi, M. T., 2003,** "Petrology of volcanic products younger than 42 Ka on the Lipari-Volcano complex (Aeolian Islands, Italy): an example of volcanism controlled by tectonics", *J. Volcanol. Geotherm. Res.*, Vol. 122: 191-220.
- Kampunzu, A. B., Tombale, A. R., Zhai, M., Bagai, Z., Majaula, T. & Modisi, M. P., 2003,** "Major and trace element geochemistry of plutonic rocks from Francistown, NE Botswana: evidence for a Neoarchaean continental active margin in the Zimbabwe canton", *Lithos*, Vol. 71 (2): 431-460.
- Machado, A., Lima, E. F., Chemale, F. Jr., Morata D., Oteiza, O., Almeida, D. P. M., Figueiredo, A. M. G., Alexandre, F. M. & Urrutia, J. L., 2005,** "Geochemistry constraints of Mesozoic-Cenozoic calc-alkaline magmatism in the South Shetland arc, Antarctica", *Journal of South American Earth Sciences*, Vol. 18: 407-425.
- MacDonald, R., Hawkesworth, C. J. & Heath, E., 2000,** "The Lesser Antilles volcanic chain: a study of arc magmatism", *Earth Science Reviews*, Vol. 49: 1-76.